

## Peatükk 4

Elastsusteooria põhivõrrandid, nende lahendusmeetodid ja lihtsamad ruumilised ülesanded

---

### *4.1. Elastsusteooria põhivõrrandid*

#### 4.1 Elastsusteooria põhivõrrandid

1. Tasakaalu (diferentsiaal)võrrandid (2.6) (3 võrrandit):

$$\begin{cases} \frac{\partial \sigma_x}{\partial x} + \frac{\partial \tau_{yx}}{\partial y} + \frac{\partial \tau_{zx}}{\partial z} + X = 0, \\ \frac{\partial \tau_{xy}}{\partial x} + \frac{\partial \sigma_y}{\partial y} + \frac{\partial \tau_{zy}}{\partial z} + Y = 0, \\ \frac{\partial \tau_{xz}}{\partial x} + \frac{\partial \tau_{yz}}{\partial y} + \frac{\partial \sigma_z}{\partial z} + Z = 0. \end{cases} \quad (4.1)$$

2. Cauchy seosed (3.6) (6 võrrandit):

$$\begin{cases} \varepsilon_x = \frac{\partial u}{\partial x}, & \varepsilon_y = \frac{\partial v}{\partial y}, & \varepsilon_z = \frac{\partial w}{\partial z}, \\ \gamma_{xy} = \frac{\partial u}{\partial y} + \frac{\partial v}{\partial x}, & \gamma_{yz} = \frac{\partial v}{\partial z} + \frac{\partial w}{\partial y}, & \gamma_{xz} = \frac{\partial u}{\partial z} + \frac{\partial w}{\partial x}. \end{cases} \quad (4.2)$$

3. Üldistatud Hooke'i seadus (6 võrrandit) nn. otsesel kujul (3.22):

$$\begin{cases} \varepsilon_x = \frac{1}{E} [\sigma_x - \nu(\sigma_y + \sigma_z)], & \gamma_{xy} = \frac{1}{G} \tau_{xy}, \\ \varepsilon_y = \frac{1}{E} [\sigma_y - \nu(\sigma_z + \sigma_x)], & \gamma_{yz} = \frac{1}{G} \tau_{yz}, \\ \varepsilon_z = \frac{1}{E} [\sigma_z - \nu(\sigma_x + \sigma_y)], & \gamma_{zx} = \frac{1}{G} \tau_{zx} \end{cases} \quad (4.3)$$

või nn. pöördkujul (3.30)

$$\begin{cases} \sigma_x = \lambda\theta + 2\mu\varepsilon_x, & \tau_{xy} = \mu\gamma_{xy}, \\ \sigma_y = \lambda\theta + 2\mu\varepsilon_y, & \tau_{yz} = \mu\gamma_{yz}, \\ \sigma_z = \lambda\theta + 2\mu\varepsilon_z, & \tau_{zx} = \mu\gamma_{zx}. \end{cases} \quad (4.4)$$

Võrrandeid kokku 15.

Tundmatud kokku 15: 6 pingetensori komponenti + 6 deformatsioonitensori komponenti + 3 siirdevektori komponenti.

#### *4.1. Elastsusteooria põhivõrrandid*

116

Rajatingimused ehk ääretelingimused ehk servatingimused võivad olla kolme põhitüüpi.

1. Keha välispinnal on antud pindjoud (2.14):

$$\begin{cases} p_{\nu x} = \sigma_x l + \tau_{yx} m + \tau_{zx} n, \\ p_{\nu y} = \tau_{xy} l + \sigma_y m + \tau_{yz} n, \\ p_{\nu z} = \tau_{xz} l + \tau_{yz} m + \sigma_z n. \end{cases} \quad (4.5)$$

2. Keha välispinnal on antud siirded. Põhimõtteliselt tähendab see seda, et on antud keha välispinna liikumisseadus.
3. Osal keha pinnast on antud siirded ja osal pindjoud.

Võib esineda veelgi komplitseeritud juhte, kus mingil osal keha pinnast on antud näiteks üks kolmest siirdekomponendist ja kaks pindjou komponenti.

### Pidevustingimused.

Kui põhimuutujateks on valitud deformatsioonid või pinged, siis on tarvis arvestada ka pidevustingimusi (3.18):

$$\left\{ \begin{array}{l} \frac{\partial^2 \varepsilon_x}{\partial y^2} + \frac{\partial^2 \varepsilon_y}{\partial x^2} = \frac{\partial^2 \gamma_{xy}}{\partial x \partial y}, \\ \frac{\partial^2 \varepsilon_y}{\partial z^2} + \frac{\partial^2 \varepsilon_z}{\partial y^2} = \frac{\partial^2 \gamma_{yz}}{\partial y \partial z}, \\ \frac{\partial^2 \varepsilon_z}{\partial x^2} + \frac{\partial^2 \varepsilon_x}{\partial z^2} = \frac{\partial^2 \gamma_{xz}}{\partial x \partial z}, \\ \frac{\partial}{\partial x} \left( \frac{\partial \gamma_{xz}}{\partial y} + \frac{\partial \gamma_{xy}}{\partial z} - \frac{\partial \gamma_{yz}}{\partial x} \right) = 2 \frac{\partial^2 \varepsilon_x}{\partial y \partial z}, \\ \frac{\partial}{\partial y} \left( \frac{\partial \gamma_{xy}}{\partial z} + \frac{\partial \gamma_{yz}}{\partial x} - \frac{\partial \gamma_{xz}}{\partial y} \right) = 2 \frac{\partial^2 \varepsilon_y}{\partial x \partial z}, \\ \frac{\partial}{\partial z} \left( \frac{\partial \gamma_{yz}}{\partial x} + \frac{\partial \gamma_{xz}}{\partial y} - \frac{\partial \gamma_{xy}}{\partial z} \right) = 2 \frac{\partial^2 \varepsilon_z}{\partial x \partial y}. \end{array} \right. \quad (4.6)$$

### 4.2 Elastsusteooria ülesannete lahendusmeetodid

#### 4.2 Elastsusteooria ülesannete lahendusmeetodid

Elastsusteooria põhivõrandeid võib lahendada mitmel erineval moel, sõltuvat sellest millised suurused on valitud põhimuutujateks.

1. *Lahendamine siirtes* — tundmatuteks on valitud siirdevektori komponendid  $u(x, y, z)$ ,  $v(x, y, z)$  ja  $w(x, y, z)$ .
2. *Lahendamine pingetes* — tundmatuteks on valitud pingetensori komponendid  $\sigma_x(x, y, z), \dots, \tau_{xy}(x, y, z), \dots$
3. *Lahendamine deformatsioonides* — tundmatuteks on valitud deformatsioonitensori komponendid  $\varepsilon_x(x, y, z), \dots, \gamma_{xy}(x, y, z), \dots$
4. *Nn. segalahendi leidmine* — eelmise kolme kombinatsioonid.

Järgmises alajaotuses vaatleme kahte esimest juhtu.

**Teoreem:** Kui keha olek on üheselt määratud ja kehtib jõuduude mõju sõltumatuse printsipi, siis omab elastsusteooria ülesanne ühest lahendit.

### 4.2.1 Elastsusteooria ülesannete lahendamine siiretes

Otsitavad: siirdekomponeendid  $u(x, y, z)$ ,  $v(x, y, z)$  ja  $w(x, y, z)$ .

1. Tasakaaluvõrrandites (4.1) olevad pingetensori komponendid asendatakse üldistatud Hooke'i seduse (4.4) abil deformatsioonitensori komponenidega:

$$\lambda \frac{\partial \theta}{\partial x} + 2\mu \frac{\partial \varepsilon_x}{\partial x} + \mu \frac{\partial \gamma_{xy}}{\partial y} + \mu \frac{\partial \gamma_{xz}}{\partial z} + X = 0. \quad (4.7)$$

2. Kasutades Cauchy seoseid (4.2) saame

$$\lambda \frac{\partial \theta}{\partial x} + \mu \underbrace{\left( \frac{\partial^2 u}{\partial x^2} + \frac{\partial^2 u}{\partial y^2} + \frac{\partial^2 u}{\partial z^2} \right)}_{=\nabla^2 u} + \mu \underbrace{\left( \frac{\partial^2 u}{\partial x^2} + \frac{\partial^2 v}{\partial x \partial y} + \frac{\partial^2 w}{\partial x \partial z} \right)}_{=\frac{\partial}{\partial x} \left( \frac{\partial u}{\partial x} + \frac{\partial v}{\partial y} + \frac{\partial w}{\partial z} \right) = \frac{\partial \theta}{\partial x}} + X = 0, \quad (4.8)$$

kus  $\nabla^2$  on *Laplace'i operaator*. Kokku saime võrrandi

$$(\lambda + \mu) \frac{\partial \theta}{\partial x} + \mu \nabla^2 u + X = 0. \quad (4.9)$$

#### 4.2. Elastsusteooria ülesannete lahendusmeetodid

3. Korrates sama protseduuri viimasele kahele võrranditest (4.1) saame

*Lamé võrrandid:*

$$\begin{cases} (\lambda + \mu) \frac{\partial \theta}{\partial x} + \mu \nabla^2 u + X = 0, \\ (\lambda + \mu) \frac{\partial \theta}{\partial y} + \mu \nabla^2 v + Y = 0, \\ (\lambda + \mu) \frac{\partial \theta}{\partial z} + \mu \nabla^2 w + Z = 0. \end{cases} \quad (4.10)$$

Saadud võrrandid ühendavad endas kõik eelpool vaadeldud seosed ja võrrandi, st. nad sisaldavad endas tasakaaluvõrrandeid, Cauchy seoseid ning üldistatud Hooke'i seadust.

4. Rajatingimused (4.5) esittatkse antud juhul samuti läbi siirete kasutades valemeid (4.4) ja (4.2) (nagu Lamé võrrandite tuletamisel):

$$\begin{cases} p_{vx} = \lambda\theta l + \mu \frac{\partial u}{\partial \nu} + \mu \left( \frac{\partial u}{\partial x}l + \frac{\partial v}{\partial x}m + \frac{\partial w}{\partial x}n \right), \\ p_{vy} = \lambda\theta m + \mu \frac{\partial v}{\partial \nu} + \mu \left( \frac{\partial u}{\partial y}l + \frac{\partial v}{\partial y}m + \frac{\partial w}{\partial y}n \right), \\ p_{vz} = \lambda\theta n + \mu \frac{\partial w}{\partial \nu} + \mu \left( \frac{\partial u}{\partial z}l + \frac{\partial v}{\partial z}m + \frac{\partial w}{\partial z}n \right), \end{cases} \quad (4.11)$$

kus

$$\frac{\partial u}{\partial \nu} = \frac{\partial u}{\partial x}l + \frac{\partial u}{\partial y}m + \frac{\partial u}{\partial z}n, \quad \frac{\partial v}{\partial \nu} = \dots, \quad \frac{\partial w}{\partial \nu} = \dots \quad (4.12)$$

5. Ülesande edasine lahendamine käib järgmiselt:

- (i) Lamé võrrandid (4.10) integreeritakse rajatingimustel (4.11);
- (ii) Cauchy seostest (3.6) määratakse deformatsioonitensori komponendid;
- (iii) Üldistatud Hooke'i seadusest (4.4) määratakse pingetensori komponendid.

#### *4.2. Elastsusteooria ülesannete lahendusmeetodid*

122

### 4.2.2 Elastsusteooria ülesande lahendamine pingetes konstantsete mahujõudude korral

Otsitavad: 6 pingetensori komponenti.

- Feldame, et kõik mahujõud on konstantsed igas keha punktis  
 $\Rightarrow \frac{\partial X}{\partial x} = \dots = 0$ .
- Alustame ruumdeformatsiooni  $\theta$  ja pingetensori esimese invariandi  $I_1^\sigma$  omaduste uurimisega. Selleks teisendaame Lamé võrrandeid järgmiselt:

$$\frac{\partial}{\partial x}(4.10)_1 + \frac{\partial}{\partial y}(4.10)_2 + \frac{\partial}{\partial z}(4.10)_3,$$

$\dots$ ,

$$(\lambda + \mu) \underbrace{\left( \frac{\partial^2 \theta}{\partial x^2} + \frac{\partial^2 \theta}{\partial y^2} + \frac{\partial^2 \theta}{\partial z^2} \right)}_{\nabla^2 \theta} + \mu \underbrace{\left( \frac{\partial}{\partial x} \nabla^2 u + \frac{\partial}{\partial y} \nabla^2 v + \frac{\partial}{\partial z} \nabla^2 w \right)}_{\nabla^2 (\frac{\partial u}{\partial x} + \frac{\partial v}{\partial y} + \frac{\partial w}{\partial z}) = \nabla^2 \theta} = 0,$$

$\dots$ ,

$$(\lambda + 2\mu)\nabla^2\theta = 0. \quad (4.13)$$

Viimane on samaväärne võrrandiga

$$\nabla^2\theta = 0. \quad (4.14)$$

- Funktsiooni, mis rahuldab *Laplace'i vőrandit* (4.14) nimetatakse *harmoniliseks funktsiooniks*.
- Kui rakendada Hooke'i seadust ruumdeformatsioonil (3.24), siis saame võrrandile (4.14) kuju

$$\nabla^2 I_1^\sigma = 0. \quad (4.15)$$

- Kuue tundmatu määramiseks peame antud juhul kasutama tasakaaluvõrandeid koos pidenvustingimustega (4.6). Need kuus pidenvusvõrandid tuleb aga väljendada pingetes.

- Asendame Hooke'i seadusest (4.3) deformatsioonitensori komponendid esimesesse pidenvusvõrandisse (4.6)<sub>1</sub>:

$$\frac{\partial^2 \sigma_x}{\partial y^2} - \nu \left( \frac{\partial^2 \sigma_y}{\partial y^2} + \frac{\partial^2 \sigma_z}{\partial y^2} \right) + \frac{\partial^2 \sigma_y}{\partial x^2} - \nu \left( \frac{\partial^2 \sigma_z}{\partial x^2} + \frac{\partial^2 \sigma_x}{\partial x^2} \right) - 2(1+\nu) \frac{\partial^2 \tau_{xy}}{\partial x \partial y} = 0 \quad (4.16)$$

#### *4.2. Elastsusteooria ülesannete lahendusmeetodid*

- Viimasest ellimineerime nihkepinge  $\tau_{xy}$ . Selleks

$$\frac{\partial}{\partial x}(4.1)_1 + \frac{\partial}{\partial y}(4.1)_2 - \frac{\partial}{\partial z}(4.1)_3$$

...

$$-2 \frac{\partial^2 \tau_{xy}}{\partial x \partial y} = \dots \rightarrow (4.16) \pm \frac{\partial^2 \sigma_x}{\partial z^2}, \pm \frac{\partial^2 \sigma_y}{\partial z^2}, \pm \nabla^2 \sigma_z \dots \xrightarrow{(4.15)}$$

$$(1+\nu)\nabla^2\sigma_z + \frac{\partial^2 I_1^\sigma}{\partial z^2} = 0.$$

- Kokku saame analoogiliselt toimides kuus vőrandit, mis on tuntud *Beltrami-Michell vőranditena* ning mis väljendavad pidenvustingimusi pingetes (juhul kui mahujõud on konstantsed) —

$$\begin{cases} (1+\nu)\nabla^2\sigma_x + \frac{\partial^2 I_1^\sigma}{\partial x^2} = 0, & (1+\nu)\nabla^2\tau_{xy} + \frac{\partial^2 I_1^\sigma}{\partial x \partial y} = 0, \\ (1+\nu)\nabla^2\sigma_y + \frac{\partial^2 I_1^\sigma}{\partial y^2} = 0, & (1+\nu)\nabla^2\tau_{yz} + \frac{\partial^2 I_1^\sigma}{\partial y \partial z} = 0, \\ (1+\nu)\nabla^2\sigma_z + \frac{\partial^2 I_1^\sigma}{\partial z^2} = 0, & (1+\nu)\nabla^2\tau_{xz} + \frac{\partial^2 I_1^\sigma}{\partial x \partial z} = 0. \end{cases} \quad (4.17)$$

## Kokkuvõte.

Antud juhul, st., elastsusteooria ülesande lahendamisel pingetes tuleb:

- (i) lahendada tasakaaluvõrrandid (4.1) koos pingetes esitatud pidenvustingimustega (4.17) ja rajatingimustega (4.5);
- (ii) määrata üldistatud Hooke'i seadusest (4.3) deformatsioonitensori komponendid;
- (iii) määrata Cauchy seostest (4.2) sõrvevektori komponendid.

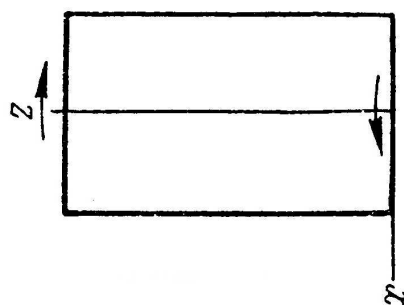
---

### *4.3. Lihtsamad ruumilised ülesanded*

126

Käesolevas alajaotuses *vaatleme mõningate lihtamate elastsusteooria ülesannete lahendamist pingetes.*

- Vaadeldavate ülesannete *lihtsus* seisneb eeskätt selles, et *pingekomponendid on konstantsed või lineaarfunktsioonid koordinaatidest ( $x, y, z$ )*.
  - Sellisel juhul on Beltrami-Michelli võrrandid (4.17), st. piduvusvõrandid pingetes, automaatselt rahuldatud.
- *Vaatame elementaarteooriast*, st. tugevusõpetusest (tehnilisest mehaanikast), *tuntud lahendeid ja näitame, et nad rahuldavad elastsusteooria tasakaaluvõrrandeid (4.1) ja rajatingimusi (4.5)*.
- Leiamme keha punktide sirded läbi üldistatud Hooke'i seaduse (4.3) ja Cauchy seoste (3.6). Elementaarteoorias piirutakse peaasjalikult vaid varda telje siirete määramisega.



Joonis 4.1: Ümarvarda vääne.

Vaatlemine konstantse ristlõikega ümarvarrast, mille otstesse on ra-kendatud pöördemomendi. Vastavalt elementaarsteooriale, st. tugevusöpetusest tuntud valemitel, avaldub nihkepinge varda väändel kujul

$$\tau = G\vartheta r, \quad (4.18)$$

kus  $G$  on nihkeelastsusmoodul,

$r$  — polaarraadius ja  $\vartheta$  — väändenurk varda pikkusühiku kohta. Pingevetor  $\boldsymbol{\tau}$  on seejuures risti varda raadiusega  $r$ . Tuletame meelete, et väändenurk  $\vartheta \ll 1$  ja et on tehtud terve rida katseandmetel põhinevaid lihtsustavaid eeldusi: (i) ristlõiked jäavad tasapinnalisteks; (ii) ristlõigete vahekaugus ei muutu; (iii) ristlõige  $z = \text{const.}$  pöördub nurga  $\vartheta_z = \vartheta_z$  võrra; (iv) raadiused

#### 4.3.1. Konstantse ristlõikega ümarvarraste vääne

128

jäävad sirgeteks; (v) varda läbimõõt ei muutu; (vi) mahujõud on hüljatud.

Lahutame nüüd pingevetori  $\boldsymbol{\tau}$   $x$ - ja  $y$ -telje sihiliseks komponendiks:

$$\tau_{yz} = \tau_{zy} = G\vartheta r \frac{x}{r} = G\vartheta x, \quad \tau_{xz} = \tau_{zx} = -G\vartheta r \frac{y}{r} = -G\vartheta y. \quad (4.19)$$

Ülejää nud pinged on vastavalt tehtud eeldustele nullid, st.,

$$\sigma_x = \sigma_y = \sigma_z = \tau_{xy} = 0. \quad (4.20)$$

Allpool näitame, et vaadeldav lahend rahuldab lineaarse elaststeooria põhivõrrandeid.

Kuna pingekomponendid on kas nullid või lineaarfunktsoonid koordinaatidest  $x$  ja  $y$ , siis on piduvustingimused pingetes (Beltrami–Michelli võrrandid) (4.17) automaatselt rahuldatud:

$$\left\{ \begin{array}{l} (1 + \nu)\nabla^2\sigma_x + \frac{\partial^2 I_1^\sigma}{\partial x^2} = 0, \quad (1 + \nu)\nabla^2\tau_{xy} + \frac{\partial^2 I_1^\sigma}{\partial x \partial y} = 0, \\ \dots, \quad \dots, \quad \dots. \end{array} \right.$$

Tasakaaluvõrandid (4.1) on rahuldatud kuna mahujõudud on hüljatud:

$$\begin{cases} \frac{\partial \sigma_x}{\partial x} + \frac{\partial \tau_{yx}}{\partial y} + \frac{\partial \tau_{zx}}{\partial z} + X = 0, \\ \frac{\partial \tau_{xy}}{\partial x} + \frac{\partial \sigma_y}{\partial y} + \frac{\partial \tau_{zy}}{\partial z} + Y = 0, \\ \frac{\partial \tau_{xz}}{\partial x} + \frac{\partial \tau_{yz}}{\partial y} + \frac{\partial \sigma_z}{\partial z} + Z = 0. \end{cases}$$

Silindri külgpind on pingevaba. Seega, saavad rajatingimused (4.5) kuju

$$\begin{cases} \sigma_x l + \tau_{yx} m + \tau_{zx} n = 0, \\ \tau_{xy} l + \sigma_y m + \tau_{zy} n = 0, \\ \tau_{xz} l + \tau_{yz} m + \sigma_z n = 0. \end{cases}$$

Külginna normaal suunakoosinused

$$l = \cos(\boldsymbol{\nu}, x) = \frac{x}{r}, \quad m = \cos(\boldsymbol{\nu}, y) = \frac{y}{r}, \quad n = \cos(\boldsymbol{\nu}, z) = 0. \quad (4.21)$$

Arvestades viimast, st.  $n = 0$  ja avaldsi (4.20), jäääb jäääb rajatingimustest alles vaid üks võrrand

$$\tau_{xz} l + \tau_{yz} m = 0, \quad (4.22)$$

#### *4.3.1. Konstantse ristlõikega ümarvarraste väinе*

mis on rahuldatud ringsilindri puhul, st. tingimustel (4.21)<sub>1,2</sub>.

Sirete leidmine toimub üldistatud Hooke'i seaduse (4.3) ja Cauchy seoste (3.6) abil. Arvestades pingekomponentide väärthusi:

$$\begin{cases} \varepsilon_x = \frac{\partial u}{\partial x} = \frac{1}{E} [\sigma_x - \nu(\sigma_y + \sigma_z)] = 0, & \gamma_{xy} = \frac{\partial v}{\partial x} + \frac{\partial u}{\partial y} = \frac{1}{G} \tau_{xy} = 0, \\ \varepsilon_y = \frac{\partial v}{\partial y} = \frac{1}{E} [\sigma_y - \nu(\sigma_z + \sigma_x)] = 0, & \gamma_{yz} = \frac{\partial v}{\partial z} + \frac{\partial w}{\partial y} = \frac{1}{G} \tau_{yz} = \vartheta x, \\ \varepsilon_z = \frac{\partial w}{\partial z} = \frac{1}{E} [\sigma_z - \nu(\sigma_x + \sigma_y)] = 0, & \gamma_{zx} = \frac{\partial w}{\partial x} + \frac{\partial u}{\partial z} = \frac{1}{G} \tau_{zx} = -\vartheta y. \end{cases}$$

Rajatingimused antakse punktis  $x = y = z = 0$  kujul  $u = v = w = 0$  ja  $\partial u / \partial z = \partial v / \partial z = \partial w / \partial x = 0$ , st. keelatud on nii pöörded kui siirded. Sellistel rajatingimustel saame

$$u = -\vartheta y z, \quad v = \vartheta x z, \quad w = 0. \quad (4.23)$$

Seega osutub ümarvara puhul elementaarteooria eeldus, et ristlõiked jäävad tasapinnaliseks ja raadiused sirgeteks, õigeks.

## Märkused:

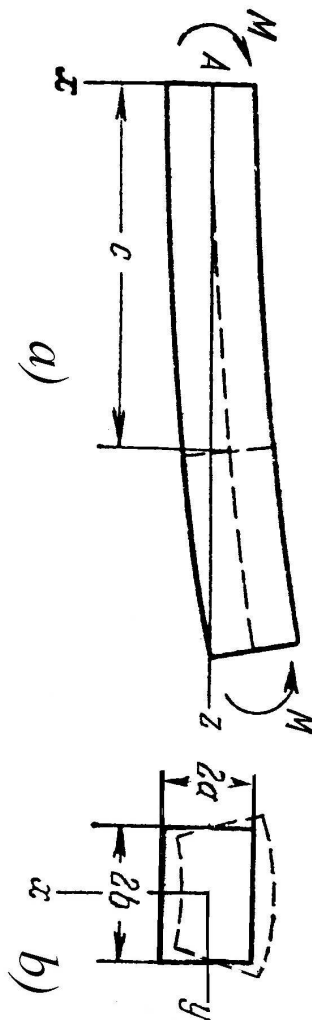
- Kui väliskoormus on varda otsale antud tangentsiaalpingetega kujul (4.18) siis on leitud lahend kehtiv varda suvalise ristlõike jaoks. Kui väliskoormus on aga antud mingil teisel kujul, siis tuleb otspindade lähedal rakendada Saint-Venant'i printsipi.

2. Valemit (4.23) tuletamine on üksikasjalikult esitatud õpikus S.P. Timoshenko, J.N. Goodier. Theory of Elasticity. McGraw-Hill, 1970. Venkeelne tõlge: Teoria uprugosti, Mir, Moskva, 1975..

3. Õpikus «R. Eek, L. Poverus, Ehitusmehaanika II, Tallinn, 1967» on valedeldav ülesanne lahendatud siires. Lõpuks näidatakse, saadud lahend sisaldab elementaarteooriast pärit valemit (4.18).

4. On selge, et mitteümarvarda puhul elementaarteoria lahend ei sobi, sest normaal pole enam antud avaldistega (4.21). Järelkult sel juhul (4.22) ei kehti varda külgpinnal.

### 4.3.2. Prismaatiliste varraste puhas paine



Joonis 4.2: Prismaatilise varda paine.

Vaatlame prismaatilist varrast, mis paindub peatasandis  $xz$  varda *otsesse rakendatud vastassuunaliste ja suuruselt võrdsete momentide toimel*. Koordinaatide alguse paneme varda vasakusse otsa ristlõike pinnakeskmesse. Elementaarteooria põhjal

$$\sigma_z = \frac{Ex}{R}, \quad \sigma_y = \sigma_x = \tau_{xy} = \tau_{xz} = \tau_{yz} = 0, \quad (4.24)$$

kus  $R$  on painutatud varda kõverusraadius. Lahend (4.24) rahuldab

massjõudude puudumisel tasakaaluvõrrandeid (4.1) ja rajatingimusi (4.5) varda külgpinnal. Otspindadel on lahend täpne kui väliskoormus jaotub vastavalt avaldisele (4.24). Paindemoment määräatakse valemiga

$$M = \int_A \sigma_z x dA = \int_A \frac{Ex^2 dA}{R} = \frac{EI_y}{R}. \quad (4.25)$$

Vimasesest avaldisest saame leida varda telje kõveruse

$$\frac{1}{R} = \frac{M}{EI_y}. \quad (4.26)$$

Sirete leidmiseks kasutame Hooke'i seadust (4.3) ja Cauchy seoseid (4.2) (antud juhul on tala teljeks  $z$ -telg!)

$$\begin{cases} \varepsilon_z = \frac{\partial w}{\partial z} = \frac{x}{R}, \\ \varepsilon_x = \frac{\partial u}{\partial x} = -\frac{\nu x}{R}, \quad \varepsilon_y = \frac{\partial v}{\partial y} = -\frac{\nu x}{R}, \\ \gamma_{xy} = \frac{\partial u}{\partial y} + \frac{\partial v}{\partial x} = \gamma_{xz} = \frac{\partial u}{\partial z} + \frac{\partial w}{\partial x} = \gamma_{yz} = \frac{\partial v}{\partial z} + \frac{\partial w}{\partial y} = 0. \end{cases} \quad (4.27)$$

#### 4.3.2. Prismaatiliste varraste puhas paine

134

Kui lahendada diferentsiaalvõrrandite süsteem (4.27) samadel rajatingimusitel, mis alajaotuses 4.3.1, st. punktis  $A$  on keelatud nii siirded kui pöörded ehk  $u = v = w = 0$  ja  $\partial u / \partial z = \partial v / \partial z = \partial w / \partial x = 0$  kui  $x = y = z = 0$ . Pärast mõningaid teisendusi saame (tuletuskäiku vt. näit. Timoshenko & Goodier)

$$\begin{cases} u = -\frac{1}{2R}[z^2 + \nu(x^2 - y^2)], \\ v = -\frac{\nu xy}{R}, \quad w = \frac{xz}{R}. \end{cases} \quad (4.28)$$

Varda kõverdunud telje võrrandi saame võttes vimases avaldises  $x = y = 0$ :

$$u = -\frac{z^2}{2R} = -\frac{Mz^2}{2EI_y}, \quad v = w = 0. \quad (4.29)$$

See avaldis langeb kokku elementaarteooria läbipainide avaldisega.

Vaatleme nüüd varda suvalist ristlõiget  $z = c$  (enne deformatsiooni). Peale deformatsiooni asuvad selle ristlõike punktid tasandil

$$z = c + w = c + \frac{cx}{R}, \quad (4.30)$$

st. *puhtal paindel jäävad ristlõiked tasapinnalisteks*. Et uurida ristlõike deformatsioone tema tasandis, vaatleme külgi  $y = \pm b$  (vt. joonis 4.2 b)). Pärast deformatsiooni

$$y = \pm b + v = \pm b \left(1 - \frac{\nu x}{R}\right), \quad (4.31)$$

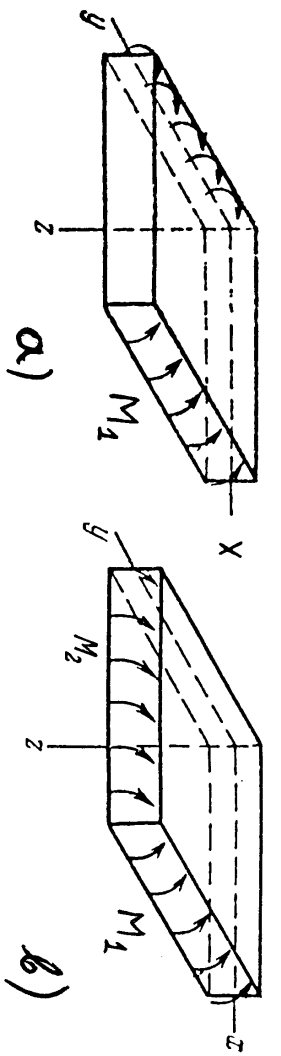
st., *peale deformatsiooni on külged y = ±b kaldu*. Kaks ülejääenud külge  $x = \pm a$  omavad peale deformatsiooni kuju

$$x = \pm a + u = \pm a - \frac{1}{2R} [c^2 + \nu(a^2 - y^2)], \quad (4.32)$$

st. nende kuijuks peale deformatsiooni on parabool. *Seega on tala pealmine ja alumine pind pikisunas nõgus ja ristsunas kumer, st. moodustab sadulpinna.*

#### 4.3.3. Paadi puhas paine

136



Joonis 4.3: Ristkülikulise plaadi paine.

*Eelmises olajaoatuses saad rakendada konstantse paksusega plaatide paindeülesannete puhiul.* Kui pinged  $\sigma_x = Ez/R$  on rakendatud piki  $y$ -teljega paralleelseid plaadi külgi (vt. joonis 4.3 a)), siis omab plaadi pind peale deformatsiooni sadulpinna kuju, kusjuures tema kõverus  $xz$  tasapinnas on  $1/R$  ning ristuvas suunas  $\nu/R$ . Siinjuures eeldatakse, et läbpained on võrreldes plaadi paksusega väikesed. Tähistame plaadi paksuse  $h$ , paindemonedi plaadi  $y$ -telje sihilise serva pikkusühiku kohta  $M_1$  ja inertsimomendi

pikkusühiku kohta  $I_y = h^3/12$ . Nüüd valemi (4.26) põhjal

$$\frac{1}{R} = \frac{M_1}{EI_y} = \frac{12M_1}{Eh^3}. \quad (4.33)$$

Kui paindemomendid  $M_1$  ja  $M_2$  mõjuvad kahes ristuvas suunas, siis saakse elastse plaadi pinna kõverus paindemomentidest  $M_1$  ja  $M_2$  põhjustatud kõveruste superpositsioonina.

Tähistame  $1/R_1$  ja  $1/R_2$  plaadi kõverused  $xz$  jz  $yz$  tasandites. Momendid  $M_1$  ja  $M_2$  on endiselt mõõdetud serva pikkusühiku kohta. Kasutades nüüd avaldist (4.33) ja superpositsiooniprintsiipi saame

$$\frac{1}{R_1} = \frac{12}{Eh^3}(M_1 - \nu M_2), \quad \frac{1}{R_2} = \frac{12}{Eh^3}(M_2 - \nu M_1). \quad (4.34)$$

$M_1$  ja  $M_2$  loetakse positiivseteks kui nad põhjustavad positiivsete kiudude tõmnet. (4.34) põhjal

$$M_1 = \frac{Eh^3}{12(1-\nu^2)} \left( \frac{1}{R_1} + \frac{\nu}{R_2} \right), \quad M_2 = \frac{Eh^3}{12(1-\nu^2)} \left( \frac{1}{R_2} + \frac{\nu}{R_1} \right). \quad (4.35)$$


---

#### 4.3.3. Paadi puhas paine

Väikese lähipainete puhul võib kasutada aproksimatsiooni

$$\frac{1}{R_1} = -\frac{\partial^2 w}{\partial x^2}; \quad \frac{1}{R_2} = -\frac{\partial^2 w}{\partial y^2}. \quad (4.36)$$

Tähistades

$$D = \frac{Eh^3}{12(1-\nu^2)} \quad (4.37)$$

ja arvestades (4.36) saame avaldistele (4.35) kuju

$$M_1 = -D \left( \frac{\partial^2 w}{\partial x^2} + \nu \frac{\partial^2 w}{\partial y^2} \right), \quad M_2 = -D \left( \frac{\partial^2 w}{\partial y^2} + \nu \frac{\partial^2 w}{\partial x^2} \right). \quad (4.38)$$

Konstanti  $D$  nimetatakse plaadi paindejäikuseks.

Juhul kui plaat paindub silindriliselt (moodustaja on paralleelne  $y$ -teljega), siis  $\partial^2 w / \partial y^2 = 0$  ja (4.38) saab kuju

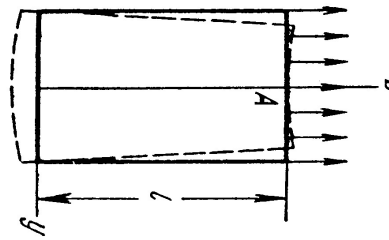
$$M_1 = -D \frac{\partial^2 w}{\partial x^2}, \quad M_2 = -D\nu \frac{\partial^2 w}{\partial x^2}. \quad (4.39)$$

Kui  $M_1 = M_2 = M$ , siis ka  $1/R_1 = 1/R_2 = 1/R$  ja plaat paindub sfääriliseks

pinnaks, nii et (4.35) saab kuju

$$M = \frac{Eh^3}{12(1-\nu)} \frac{1}{R} = \frac{D(1+\nu)}{R}. \quad (4.40)$$

#### 4.3.4 Varda tõmme omakaalu mõjul



Vaatleme ülemisest otast jäigalt kinnitatud ristkülikulise ristlõikega varrast. Mahujõud kus  $\rho g$  on varda erikaal. Varda igas ristlõikes on nullist erinev vaid temast allpool asuva osa kaalust põhjustatud normalpinge:

$$X = Y = 0, \quad Z = -\rho g, \quad (4.41)$$

Joonis 4.4: Varda deformatioon omakaalu mõjul.

$$\sigma_z = \rho g z, \quad \sigma_x = \sigma_y = \tau_{xy} = \tau_{yz} = \tau_{xz} = 0. \quad (4.42)$$

Tasakaaluvõrandid (4.1) on sellise pingegaotuse korral rahuldatud.

#### 4.3.4. Varda tõmme omakaalu mõjul

140

**Rajatingimused:** Nullist erinevad pinged vaid varda ülemisel välispinnal — seal  $\sigma_z = \rho g l$ .

Kuna pidavustingimused pingetes (vt. näiteks Beltrami-Michelli võrandid (4.17)) sisaldavad vaid teist jäärku osatuletisi pingekomponentidest, siis on nad antud juhul automaatselt rahuldatud.

Siirded ja deformatsioonid määramine Hooke'i seaduse abil

$$\begin{cases} \varepsilon_z = \frac{\partial w}{\partial z} = \frac{\sigma_z}{E} = \frac{\rho g z}{E}, \\ \varepsilon_x = \varepsilon_y = \frac{\partial u}{\partial x} = \frac{\partial v}{\partial y} = -\nu \frac{\rho g z}{E}, \\ \gamma_{xy} = \frac{\partial u}{\partial y} + \frac{\partial v}{\partial x} = \gamma_{xz} = \frac{\partial u}{\partial z} + \frac{\partial w}{\partial x} = \gamma_{yz} = \frac{\partial v}{\partial z} + \frac{\partial w}{\partial y} = 0. \end{cases} \quad (4.43)$$

Siirdekomponeendid  $u, v$  ja  $w$  leitakse avaldistest (4.43) integreerimise teel. Integreerimiskonstandid määratatakse rajatingimustest punktis  $A$ . Jäiga kinnitustesse tõttu on seal keelatud nii siirded kui pöörded, st., punktis  $x = y = 0, z = l$  on  $u = v = w = 0$  ja  $\partial u / \partial z = \partial v / \partial z = \partial w / \partial x = 0$ . Tulemus on järgmine

(tuletuskäiku vt. näit. Timoshenko & Goodier):

$$\begin{cases} u = -\frac{\nu \rho g x z}{E}, & v = -\frac{\nu \rho g y z}{E}, \\ w = \frac{\rho g z^2}{2E} + \frac{\nu \rho g}{2E} (x^2 + y^2) - \frac{\rho g l^2}{2E} \end{cases} \quad (4.44)$$

On selge, et *z-telege punktid omavad vaid vertikaalseid siirdeid*:

$$w|_{\substack{x=0 \\ y=0}} = -\frac{\rho g}{2E} (l^2 - z^2). \quad (4.45)$$

Teised punktid, st. kus  $x \neq 0$  või  $y \neq 0$ , omavad ka horisontaalseid siirdeid. Seega *sirged, mis olid enne deformatsiooni paralleelsed z-telejega on peale deformatsiooni z suhtes kaldu. Tala lõiked, mis olid enne deformatsiooni risti z-telejega, moodustavad pärast deformatsiooni paraboolse pinna*. Näiteks punktid, mis ollid enne deformatsiooni tassandil  $z = c$  asuvad peale deformatsiooni pinnal  $z = c + w|_{z=c}$ . See pind on risti kõigi nende varda kiududega, mis enne deformatsiooni ollid vertikaalsed.

#### 4.3.5 Ülesanded

142

**Ülesanne 3. Tala (plaadi) puhas paine.** Tala dimensioonid (joon. 4.2):  $-a \leq x \leq a$ ,  $-b \leq y \leq b$  ja  $0 \leq z \leq l$ . Otstesse  $z = 0$  ja  $z = l$  on rakendatud momendid  $M$ . Leida (alajaotuste 4.3.2 ja 4.3.3 põhjal) tala (plaadi) peatasandi  $xz$  ja lõike  $z = l$  deformeerunud kuju järgmistel juhtudel:

1.  $M = 2\text{kNm}$ ;  $l = 0,2\text{m}$ ;  $a = 0,015\text{m}$ ;  $b = 0,025\text{m}$ ;
2.  $M = 10\text{kNm}$ ;  $l = 1\text{m}$ ;  $a = 0,03\text{m}$ ;  $b = 0,05\text{m}$ ;
3.  $M = 10\text{kNm}$ ;  $l = 1\text{m}$ ;  $a = 0,015\text{m}$ ;  $b = 0,5\text{m}$ ;
4.  $M = 10\text{kNm}$ ;  $l = 0,5\text{m}$ ;  $a = 0,015\text{m}$ ;  $b = 0,5\text{m}$ .

Vaadelda kolmest materjalist talasid (plaate):

1. teras:  $E = 210\text{GPa}$ ;  $\nu = 0,3$ ;
2. aluminiium:  $E = 70\text{GPa}$ ;  $\nu = 0,35$ ;
3. vask:  $E = 110\text{GPa}$ ;  $\nu = 0,32$ .

Hinnata maksimaalse vertikaalsiirde ja tala paksuse suhet, st. seda kas läbipaänded on väikesed või ei. Lahendused vt. <http://cens.ioc.ee/~salupere/loko.html>.

# Sisukord

## Eessõna

### 1 Sissejuhatus

1.1 Elastsusõpetus . . . . .	4
1.2 Mehaanika harud . . . . .	6
1.2.1 Jääga keha mehaanika . . . . .	7
1.2.2 Pideva keskkonna mehaanika . . . . .	8
1.2.3 Tehniline mehaanika . . . . .	9

## *Sisukord*

144

1.3 Ülevaade tehnilise mehaanika põhimõistetest, hüpoteesidest ja võrranditest . . . . .	10
1.3.1 Staatika . . . . .	10
1.3.2 Tugevusõpetus . . . . .	24
1.4 Elastsusõpetuse ülesanded . . . . .	50
1.5 Klassikalise elastsusteooria põhieeldused ja põhihüpoteesid . .	51
<b>2 Pinge</b>	<b>54</b>
2.1 Jõud ja pinged . . . . .	55
2.2 Tasakaalu diferentsiaalvõrandid . . . . .	60
2.3 Pinged kaldpinnal, rajatingimused keha pinnal . . . . .	65
2.4 Peapinged, pinge invariandid . . . . .	68
2.5 Pingetensor . . . . .	73
2.6 Ülesanded . . . . .	76

<b>3 Deformatsioon</b>	<b>80</b>
3.1 Siire ja deformatsioon . . . . .	81
3.1.1 Cauchy seosed . . . . .	81
3.1.2 Orienteeritud lõigu pikinemine . . . . .	87
3.2 Deformatsioonitensor . . . . .	91
3.3 Ruumdeformatsioon ehk suhteline mahumuutus . . . . .	92
3.4 Pidevustingimused . . . . .	93
3.5 Üldistatud Hooke'i seadus . . . . .	98
3.5.1 Deformatsioonide avaldamine pingete kaudu . . . . .	98
3.5.2 Hooke'i seadus ruumdeformatsiooni jaoks . . . . .	101
3.5.3 Pingete avaldamine deformatsioonide kaudu . . . . .	102
3.5.4 Anisotroopsed kehad . . . . .	104
3.6 Elastsusjõu töö ja deformatsiooni potentsiaalne energia . . . . .	108
<i>Sisukord</i>	<i>146</i>
<b>4 Elastsusteooria põhivõrandid, nende lahendusmeetodid ja lihtsamad ruumilised ülesanded</b>	<b>113</b>
4.1 Elastsusteooria põhivõrandid . . . . .	114
4.2 Elastsusteooria ülesannete lahendusmeetodid . . . . .	118
4.2.1 Elastsusteooria ülesannete lahendamine siires . . . . .	119
4.2.2 Elastsusteooria ülesande lahendamine pingetes . . . . .	122
4.3 Lihtsamad ruumilised ülesanded . . . . .	126
4.3.1 Konstantse ristlõikega ümarvarraste vääne . . . . .	127
4.3.2 Prismaatiliste varraste puhas paine . . . . .	132
4.3.3 Paadi puhas paine . . . . .	136
4.3.4 Varda tõmme omakaalu mõjul . . . . .	139
4.3.5 Ülesanded . . . . .	142